

O conceito de cor

Os problemas do modelo dos **quarks-partões**:

- $\Delta^{++} \equiv (u^\uparrow u^\uparrow u^\uparrow)$ ou $\Omega^- \equiv (s^\uparrow s^\uparrow s^\uparrow)$ são estados com 3 quarks da mesma natureza, no estado fundamental, com o mesmo spin. Logo, implicam uma função de onda completamente simétrica, o que é proibido pela estatística de Fermi \Rightarrow necessidade de novo grau de liberdade para que
$$\psi_{\Delta^{++}} = \underbrace{\psi_{\text{rod}} \cdot \psi_{\text{spin}}}_S \cdot \underbrace{\psi_{\text{cor}}}_A$$

- famílias de bárions (qqq , $\bar{q}\bar{q}q$) bem explicadas, assim como de mésons ($q\bar{q}$). Mas não há justificção para a inexistência de estados qq , $\bar{q}\bar{q}$, $qq\bar{q}$, $q\bar{q}q$, $qq\bar{q}\bar{q}$, ...

\Rightarrow É necessária uma nova restrição, a **cor**:

- ▶ Antisimetriza $u^\uparrow u^\uparrow u^\uparrow$ do Δ^{++} , pois cada quark aparece num diferente estado de cor: $u_R u_B u_Y$

▶ Só partículas não coloridas — "brancas" são detectáveis

$$\left\{ \begin{array}{ll} R B Y & \longleftrightarrow \text{branco} \\ \bar{R} \bar{B} \bar{Y} & \longleftrightarrow \text{branco} \\ R\bar{R} B\bar{B} Y\bar{Y} & \longleftrightarrow \text{branco} \end{array} \right.$$

Ou seja, a teoria deve construir objectos singletos de cor — invariantes em relação a rotações no espaço de cor (R, B, Y)

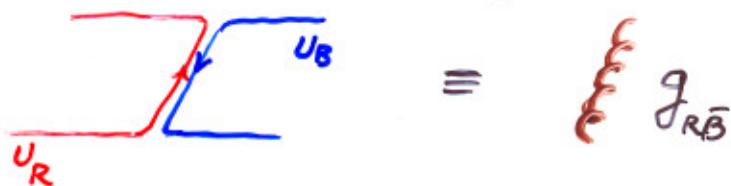
Então:

$$\text{bariões} \equiv RBY$$

$$\text{antibariões} \equiv \bar{R}\bar{B}\bar{Y}$$

$$\text{mesões} \equiv R\bar{R} + B\bar{B} + Y\bar{Y} \quad (\text{aniquilados de cor})$$

Os glúons, necessárias em QCD, são mediadores de cor dos quarks, mas também transportam essa propriedade:



Há 9 hipóteses de combinação cor - anticor (3×3):

$$R\bar{R} \quad B\bar{R} \quad Y\bar{R}$$

$$R\bar{B} \quad B\bar{B} \quad Y\bar{B}$$

$$R\bar{Y} \quad B\bar{Y} \quad Y\bar{Y}$$

Como há 1 relação: $R\bar{R} + B\bar{B} + Y\bar{Y} = \text{branco}$, vem:

$$3 \otimes 3 = 8 \oplus 1, \text{ ou seja:}$$

8 \equiv octeto de cor: 8 estados coloridos independentes

1 \equiv singlete de cor: neutro, como o fóton

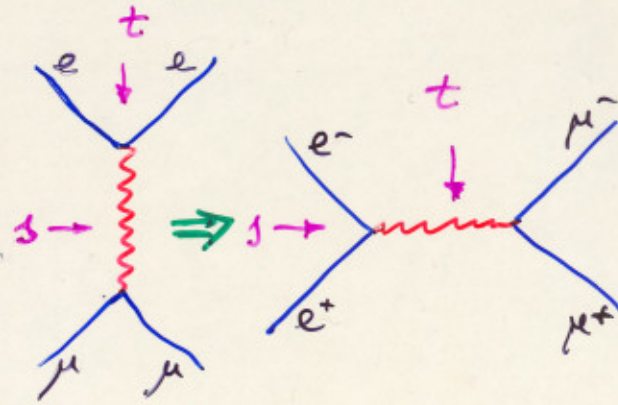
Modelo dos partões e QCD na aniquilação e^+e^-

Temos visto que

$$\frac{d\sigma}{dt}(e\mu \rightarrow e\mu) = \frac{4\pi\alpha^2}{s^2} \frac{1}{2} \frac{\hat{s}^2 + \hat{u}^2}{\hat{t}^2}$$

Então, usando argumentos de dualidade, i.e., cruzando $s \leftrightarrow t$ e integrando, obtém-se:

$$\sigma(e^+e^- \rightarrow \mu^+\mu^-) = \frac{4\pi\alpha^2}{3Q^2}, \text{ em que } s \equiv Q^2 = 4E_{\text{beam}}^2.$$

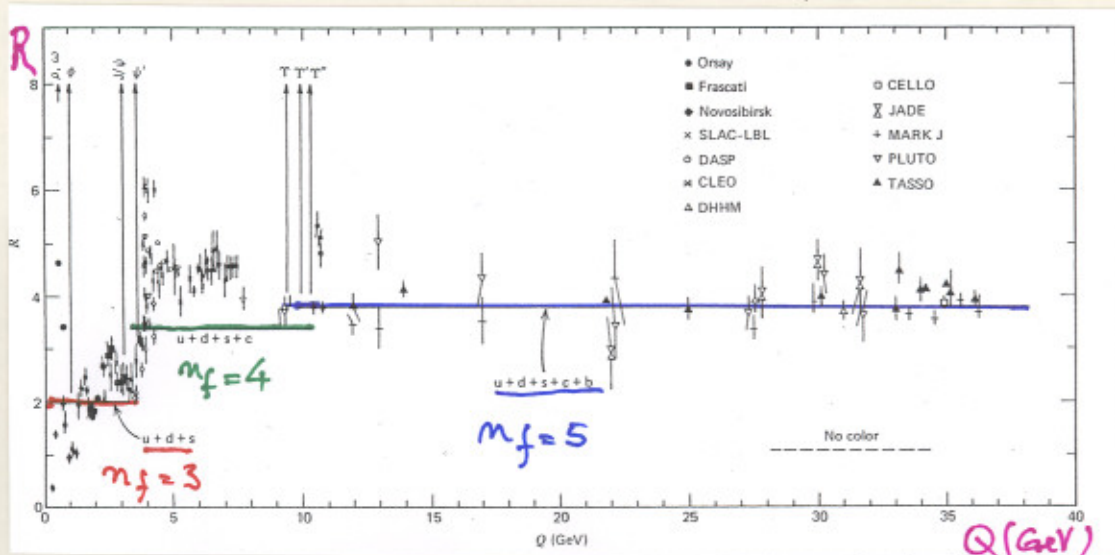


Como $\sigma(e^+e^- \rightarrow q\bar{q}) = e_q^2 \sigma(e^+e^- \rightarrow \mu^+\mu^-)$ para cada quark colorido, generalizando à secção eficaz $\sigma(e^+e^- \rightarrow \text{hadrões})$, precisamos somar todos os possíveis estados finais, i.e., n_f sabores $\cdot n_c$ cores:

$$\sigma(e^+e^- \rightarrow \text{hadrões}) = n_c \sum_{q=1}^{n_f} e_q^2 \sigma(e^+e^- \rightarrow \mu^+\mu^-)$$

Ou seja, baseando-nos no modelo dos quarks-partões, corrigido pela introdução do conceito de cor de QCD, obtemos a seguinte previsão

$$R \equiv \frac{\sigma(e^+e^- \rightarrow \text{hadrões})}{\sigma(e^+e^- \rightarrow \mu^+\mu^-)} = 3 \sum_q e_q^2 = \begin{cases} 3 \times \left[\left(\frac{2}{3}\right)^2 + \left(\frac{1}{3}\right)^2 + \left(\frac{1}{3}\right)^2 \right] = 2 & n_f=3 \\ & u, d, s \\ 3 \left[2 \times \left(\frac{2}{3}\right)^2 + 2 \times \left(\frac{1}{3}\right)^2 \right] = \frac{10}{3} & n_f=4 \\ & u, d, s, c \end{cases}$$



Este resultado mostra o aval experimental à introdução da cor.

Note-se que R é um invariante de escala ($R \neq R(Q^2)$).

No contexto de QCD, incluindo um cálculo completo de ordem α_s , seria:

$$R = 3 \sum_q e_q^2 \left(1 + \frac{\alpha_s(Q^2)}{\pi} \right)$$

Como $\alpha_s(Q^2) \sim (\ln Q^2)^{-1}$, R exhibe uma violação logarítmica da invariância de escala, que foi confirmada pelas experiências de alta precisão de LEP.

O factor R em LEP

É medido no pólo do Z^0 : $e^+e^- \rightarrow Z^0 \rightarrow \text{hadrons} (\mu^+\mu^-)$ pelo que se exprime através das larguras de decaimento:

$$R_{ll} = \frac{\Gamma_{had}}{\Gamma_{ll}}$$

$$R_b = \frac{\Gamma_{b\bar{b}}}{\Gamma_{had}}$$

$$R_c = \frac{\Gamma_{c\bar{c}}}{\Gamma_{had}}$$

$$\left. \begin{array}{l} R_l = 20.768 \pm 0.024 \pm 0.017 \\ \text{St. Mod} = 20.7394 \end{array} \right\} \Rightarrow 1.00138 \quad (1.38\%)$$

$$R_b = 0.21642 \pm 0.00073$$

$$R_c = 0.1674 \pm 0.0038$$

Reportando R_b e R_c à definição clássica de R :

$$R(n_f=5) = R_l \times R_b = 4.946 < > 14/3 = 4.667$$

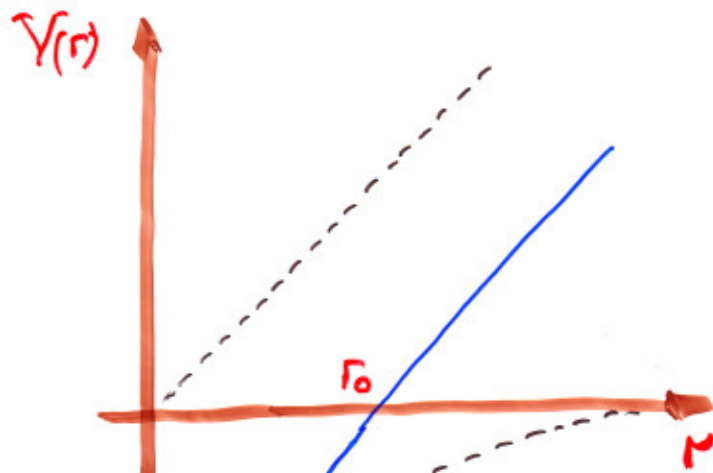
$$R(n_f=4) = R_l \times R_c = 3.477 < > 10/3 = 3.333,$$

de onde podemos extrair a contribuição de QCD:

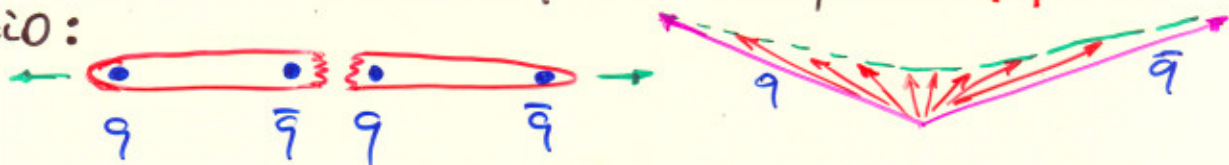
$$5.9\% \quad \text{e} \quad 4.3\%.$$

Hadronização - Funções de fragmentação

No processo $e^+e^- \rightarrow q\bar{q}$, à medida que q e \bar{q} se afastam, α_s cresce e o potencial $V_{q\bar{q}} \sim -\frac{\alpha}{r} + \lambda r$



que, para pequenas distâncias leva à liberdade assintótica e, para as grandes implica o confinamento (termo do potencial elástico λr), torna-se tão elevado que novos pares $q\bar{q}$ se criam do vácuo:



levando à formação de 2 jets de hádrons — partículas colimadas espacialmente, de energias idênticas às dos quarks que os originaram.

Então, a seção eficaz do processo inclusivo $AB \rightarrow hX$ (que neste caso toma a forma $e^+e^- \rightarrow hX$, e não inclui as funções de estrutura), pode escrever-se:

$$\frac{d\sigma}{dz}(e^+e^- \rightarrow hX) = \sum_q \sigma(e^+e^- \rightarrow q\bar{q}) [D_q^h(z) + D_{\bar{q}}^h(z)],$$

em que $D_q^h(z)$ ($D_{\bar{q}}^h(z)$) é a probabilidade de o quark q (\bar{q}) produzir o hádron h com a fração z da energia do quark de que provém: $z \equiv \frac{E_h}{E_q} = \frac{2E_h}{Q}$.

Regras de soma

- A energia total dos hádrons de um jet deve igualar a do quark-pai :

$$\sum_h \int_0^1 z D_q^h(z) dz = 1$$

- O número de hádrons de tipo h produzido (i.e., a sua multiplicidade média) deve ser dado pela soma das probabilidades de se obter h a partir de todos os sabores de quarks :

$$\sum_{q, \bar{q}} \int_{z_m}^1 [D_q^h(z) + D_{\bar{q}}^h(z)] dz = \langle n_h \rangle,$$

sendo $z_m = \frac{2m_h}{Q}$ o limiar de produção do hádron de massa m_h .

Forma das $D(z)$ quando $z \rightarrow 0$ e $z \rightarrow 1$

- Para $z \rightarrow 0$, os hádrons são produzidos com energias desprezáveis em relação à do quark; então, a sua probabilidade de formação é idêntica à dos fenômenos de bremsstrahlung :

$$S(z) \propto \frac{1}{z}, \text{ donde } D(z) \underset{z \rightarrow 0}{\sim} z^{-1}.$$

- Para $z \rightarrow 1$, o mesmo tipo de argumentos dimensionais (regras de contagem) utilizados para as funções de estrutura leva a :

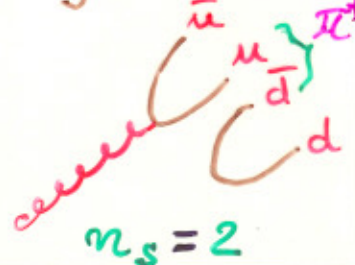
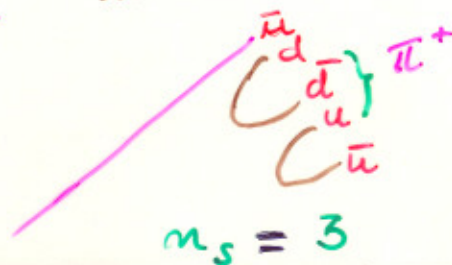
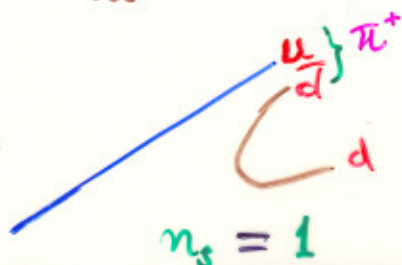
$$D(z) \underset{z \rightarrow 1}{\sim} (1-z)^{2n_s - 1}$$

Por exemplo

$$D_u^{\pi^+}(z) = (1-z)^1$$

$$D_{\bar{u}}^{\pi^+}(z) = (1-z)^5$$

$$D_g^{\pi^+}(z) = (1-z)^3$$



Então, a forma geral usada é:

$$D_q^h(z) = N_q^h \frac{(1-z)^{\delta_q^h}}{z} \quad (N, \delta = \text{const?}),$$

em que os valores de N_q^h , δ_q^h e $\langle z \rangle$ se relacionam por:

$$\langle z \rangle = \int_0^1 z D_q^h(z) dz = N \int_0^1 (1-z)^\delta dz = \frac{N}{\delta+1} \left[(1-z)^{\delta+1} \right]_0^1$$

$$\therefore \langle z \rangle = \frac{N}{\delta+1}$$



• Note-se que

$$\langle n_h \rangle = N_q^h \int_{z_m}^1 \frac{1-z}{z} dz + N_q^h \int_{z_m}^1 \frac{(1-z)^\delta}{z} dz$$

$$\propto N \ln \frac{Q}{2m_h} + \dots$$

Quer dizer, a multiplicidade média cresce *logaritmicamente* com a energia disponível, Q .

Invariância de escala e sua violação:

$$De \frac{d\sigma}{dz}(e^+e^- \rightarrow hX) = \sum_q \sigma(e^+e^- \rightarrow q\bar{q}) [D_q^h(z) + D_{\bar{q}}^h(z)],$$

dividindo por $\sigma_T \equiv \sigma(e^+e^- \rightarrow \text{hadrões}) = 3 \sum_q e_q^2 \sigma(e^+e^- \rightarrow \mu^+\mu^-)$
e fazendo $\sigma(e^+e^- \rightarrow q\bar{q}) = 3 e_q^2 \sigma(e^+e^- \rightarrow \mu^+\mu^-)$
para cada tipo de quark, vem:

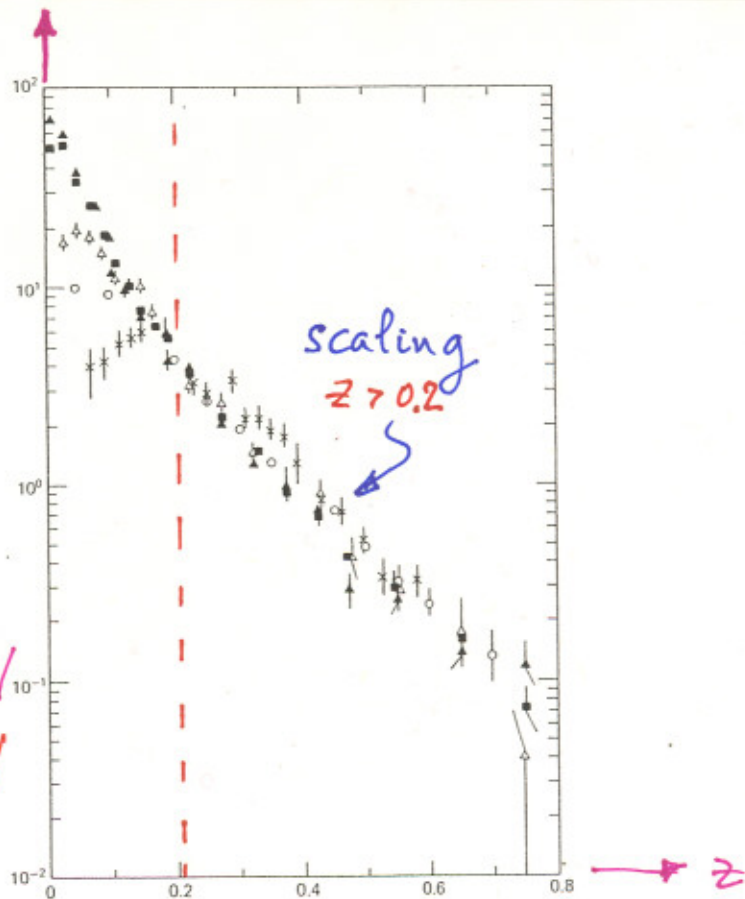
$$\frac{1}{\sigma_T} \frac{d\sigma}{dz}(e^+e^- \rightarrow hX) = \frac{3 \sum_q e_q^2 [D_q^h(z) + D_{\bar{q}}^h(z)] \sigma(e^+e^- \rightarrow \mu^+\mu^-)}{\sum_q e_q^2 \sigma(e^+e^- \rightarrow \mu^+\mu^-)}$$

$$= \frac{\sum_q e_q^2 [D_q^h(z) + D_{\bar{q}}^h(z)]}{\sum_q e_q^2},$$

que é um *invariante de escala*; ou seja, apesar de $d\sigma/dz = f(Q^2)$ e $\sigma_T = f(Q^2)$, $\frac{1}{\sigma_T} \frac{d\sigma}{dz} \sim Q^2 \frac{d\sigma}{dz} = f(z)$ e não de Q^2 .

$$\frac{1}{\sigma} \frac{d\sigma}{dz}$$

- * $Q = 5 \text{ GeV}$
- o $Q = 7,4 \text{ GeV}$
- △ $Q = 12 \text{ GeV}$
- $Q \in [27.4, 31.6] \text{ GeV}$
- ▲ $Q \in [35.0, 36.6] \text{ GeV}$



A violação da invariância de escala $D(z) \rightarrow D(z, Q^2)$ para $z < 0,2$ tem as mesmas causas que nas funções de estrutura: emissão de glúons, que faz aumentar o número de partículas produzidas a baixo z e diminuir as produzidas a grande z .

Mas, parte da violação que se observa, provém dos limiares de produção de quarks mais massivos (charm beauty) que, por terem pouca impulsão, se fragmentam em hádrões de $z \ll 1$.

Universalidade das funções de fragmentação

As funções $D(z)$ descrevem propriedades dos partões e são, pois, independentes das interações que os produziram.

Têm-se as relações:

$$D_{u}^{\pi^+} = D_{\bar{u}}^{\pi^-} = D_{d}^{\pi^-} = D_{\bar{d}}^{\pi^+}$$

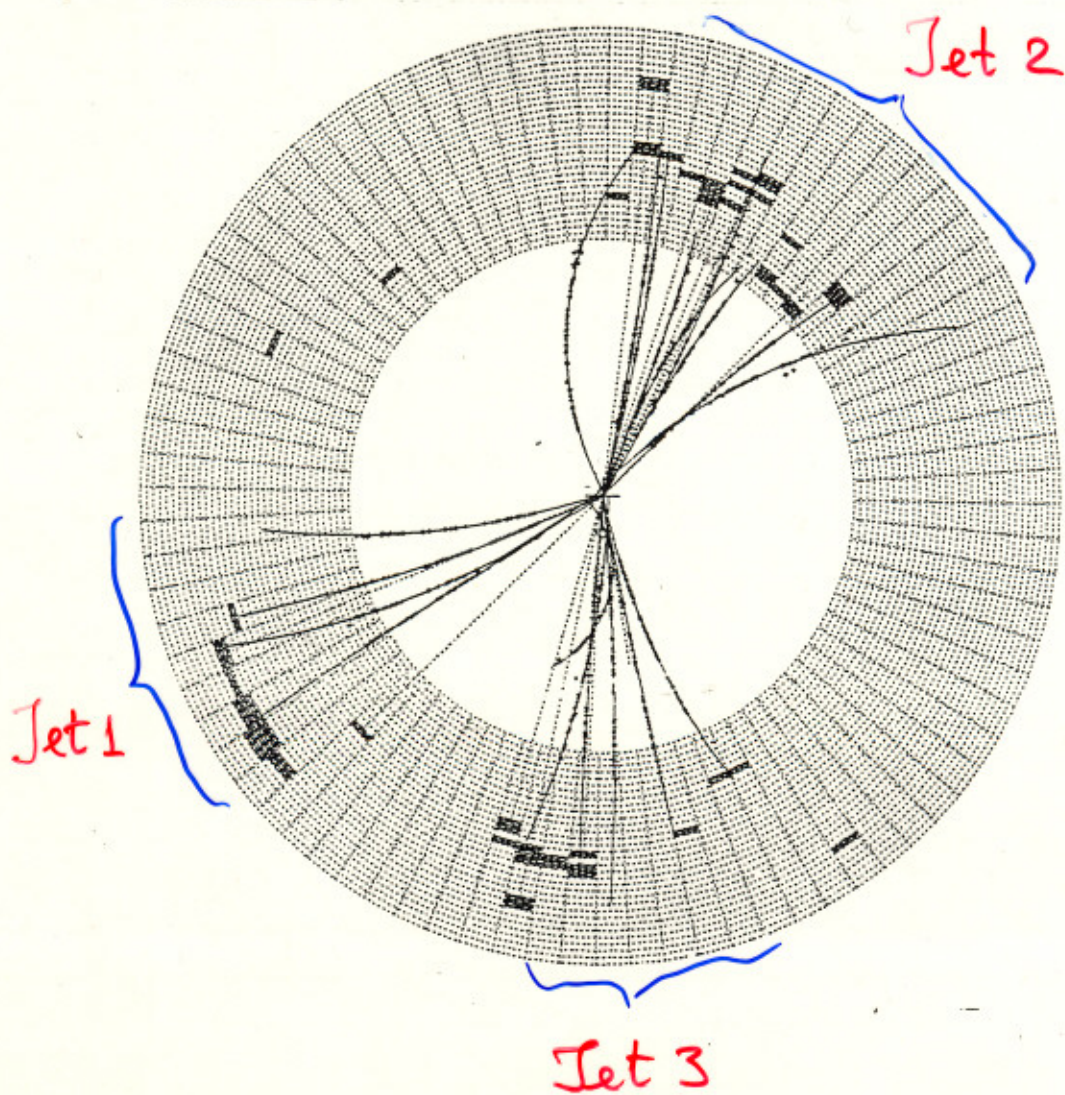
$$D_{u}^{\pi^-} = D_{\bar{u}}^{\pi^+} = D_{d}^{\pi^+} = D_{\bar{d}}^{\pi^-}$$

$$D_g^{\pi^+} = D_g^{\pi^-}$$

Jets (breve referência)

Na ordem zero em α_s (ordem α^2) esperam-se 2 jets opostos ("back-to-back"), de q e \bar{q} . Mas, como um dos quarks pode radiar um glúão (ordem $\alpha^2\alpha_s$), devem existir eventos com 3 jets: q, \bar{q}, g .

fô em DESY que pela primeira vez se detectaram tais estruturas:



$$e^+e^- \rightarrow q\bar{q}g \rightarrow \text{jet}_1 + \text{jet}_2 + \text{jet}_3$$